

SORGENTI LASER

(1960 Maiman) \Rightarrow

$$(\lambda = 500 \text{ nm} \rightarrow \nu = 600 \text{ THz: VERDE})$$

- spettro em. (Nd:YAG: 1064 nm)

- rappresenta luce \rightarrow onda, fotone, raggi

monocromaticità

coerenza (spaziale e temporale)

direzionalità

brillanza (densità energia)

polarizzazione

durata temporale (densità energia)

FABRIZIO

PREDA

- atomi
- ioni in vetri \leftarrow livelli energetici
- cristalli
- molecole (vibraz.) $(E_2 - E_1)$
- SC (bande)

assorbimento, em. spontanea, em. stimolata

incoerente

\hookrightarrow il fotone emesso è coerente col primo (identico! (fase, freq., direz.)

Per amplificare: INVERSIONE di POPOLAZIONE ($\Delta N = N_2 - N_1$)
(se $N_2 = N_1$: trasparente)

(diseguilibrio)

- Componenti di Oscillatore Laser: materiale attivo, Pompa, Risonatore ottico

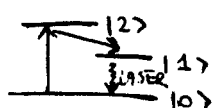
\downarrow
x ottenere inv. popol.

(confinamento radiaz. em.)

- Amplificazione Ottica

- impossibile con 2 livelli.

- 3 livelli:



(condiz. x ampli: $N_1 > N_0$: non facile)

(es. laser a rubino)

dispositivo con guadagno
(azione laser)

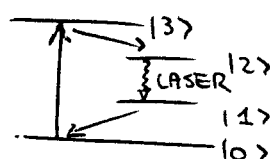
sistema retroazionie
(reazione positiva)

OSCILLATORE LASER

- 4 livelli (più efficiente)

$$(\tau_{10}, \tau_{32} \ll \tau_{21})$$

(es. Nd:YAG)



(condiz. x ampli: $N_2 > N_0 \rightarrow$ facile)

- Pompatto: scarica elettrica

(gas)

ottico
(cristalli
vetri
liquidi)

elettrico
(sc)

\hookrightarrow recomb. di (e^-) e (h^+) comporta
irraggiamenti di fotoni

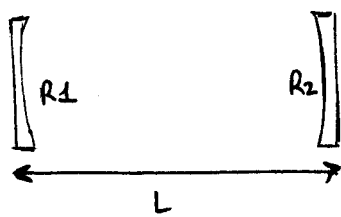
Guadagno materiale attivo

$$\frac{dI}{dz} = \sigma (N_2 - N_1) I$$

\downarrow
x materiale attivo di lunghezza L

$$I(z) = I(0) \exp \left\{ \underbrace{\sigma (N_2 - N_1)}_{g} L \right\} \Rightarrow \frac{I(L)}{I(0)} = G = e^{g L}$$

RISONATORI OTTICI FABRY-PEROT (meccanismo di retroazione positiva)



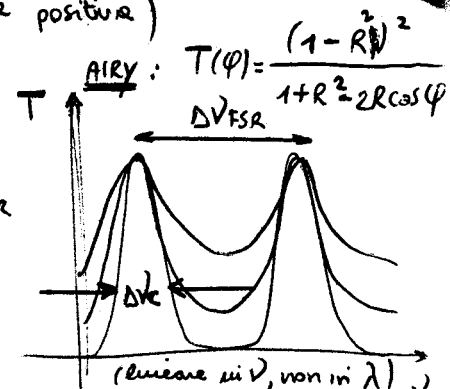
$$\text{condiz. risonanza: } L = m \cdot \frac{\lambda}{2}$$

$$\text{autofrequenze: } \nu = \frac{mc}{2L} = m \Delta\nu_{\text{FSR}}$$

free spectral range

$$\Delta\nu_{\text{FSR}} = \frac{c}{2L}$$

$$F = \frac{\Delta\nu_{\text{FSR}}}{\Delta\nu_c} = \frac{\pi R^{1/2}}{1-R}$$



$$\text{Lunghezza ria: } \Delta\nu_c = \frac{1}{2\pi T_c}$$

$$T_c = \frac{L/c\gamma}{\text{cavity lifetime}} \rightarrow \text{perdite esp}$$

$$\text{Fattore merito: } Q = \frac{\nu}{\Delta\nu_c} = \frac{\nu}{\Delta\nu_{\text{FSR}}} F = m \cdot F$$

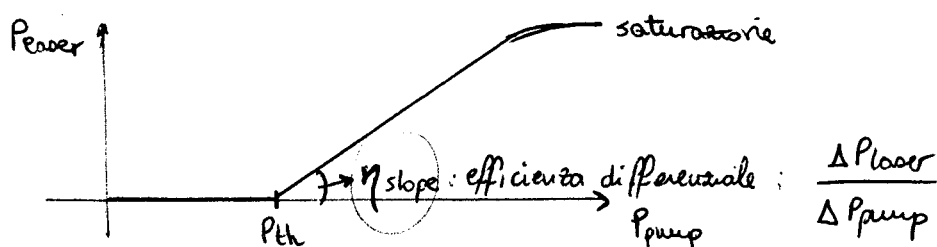
$$\left\{ \begin{array}{l} \varphi = \frac{2\pi}{\lambda} \cdot 2L = K \cdot S \end{array} \right.$$

$$\left\{ \begin{array}{l} T_{\text{max}} = 1 \\ T_{\text{min}} = \frac{(1-R)^2}{(1+R)^2} \end{array} \right.$$

Condizione di Soglia (il guadagno di round trip deve superare le perdite nel risonatore)

$$R_1 R_2 G^2 I_0 = I_0 \Rightarrow G^2 = \frac{1}{R_1 R_2} : e^{2gL} = \frac{1}{R_1 R_2} \Rightarrow 2\sigma(N_2 - N_1)L = -\ln R_1 - \ln R_2$$

$$\Rightarrow (N_2 - N_1)_{\text{tr}} = \frac{\gamma}{\sigma L}, \quad \gamma = \frac{\gamma_1 + \gamma_2}{2} = -\frac{\ln R_1}{2} - \frac{\ln R_2}{2}$$



Tipi di laser - Classificazione possibile

1) Materiale attivo → gas, coloranti (liquids), stato solido, sc
 \downarrow
 $(\text{CO}_2, \text{HeNe})$

2) Lunghezza onda: IR, VIS, UV, raggi X

3) Regime:
 $\left\{ \begin{array}{l} \text{CW} \rightarrow \text{multiwds, single modo (long/traor.), singola freq.} \\ \text{impulsati} \rightarrow \text{freerunning, Q-switching, mode-locking} \end{array} \right.$

* Laser e gas (pompa a scarica elettrica)

- CO₂ - tubo a flusso + raffreddamento a H₂O
- He-Ne tubo sigillato : la scarica elettrica eccita (per impatto e⁻-atomo) gli stormi di Elio che trasferiscono la loro energia di eccitaz. (resonant energy transfer) a stormi di Neon che effettuano azione laser.

* Laser a Stato Solido

Nd:YAG :

fluorescenza: 230 μs (tempo)

$\lambda = 1064 \text{ nm (} 300 \text{ THz)}$

Espansione termica

$$\frac{dn}{dT}$$

assorbimento

(è Nd che assorbe): picco a 808 nm

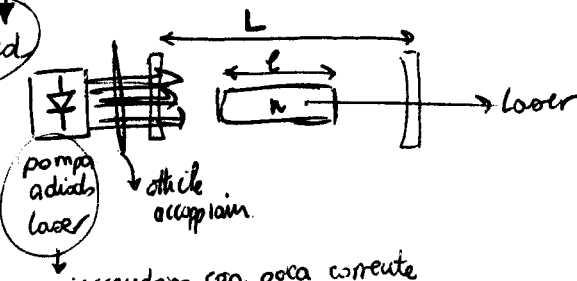
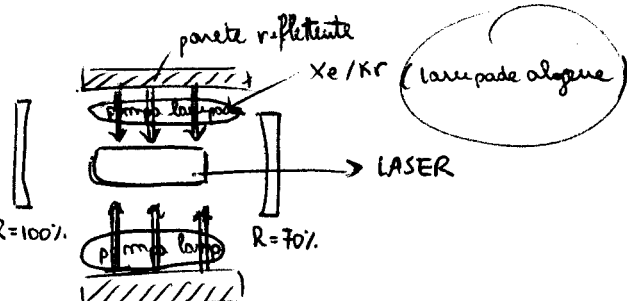
$$P = P_0 e^{-\alpha L}$$

side pumped

inverte tutto il mat. attivo, ingran anche + del necessario, $\epsilon \neq d\gamma$

end pumped

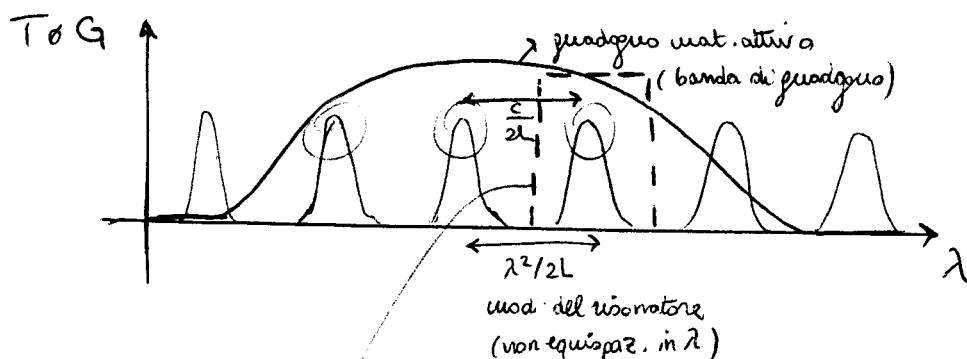
cambia cammino ottico
cambia L



in accendono con poca corrente

- efficienza spettrale della ~~pompa~~ a diodo ($\Delta V = 10 \text{ nm}$) e >> de lampada algea ($\Delta V \approx 500 \text{ nm}$)
- l'energia di pompa della lampada non utilmente assorbita produce calore in eccesso (lente termica !! ; danni !!)

Modi longitudinali e banda di guadagno



{ Oscillano tutti i modi Longit. ILM con abbastanza guadagno.

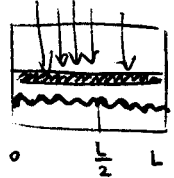
✓ filtro ottico (passa banda) con $\Delta V < c/2L$: es. Etalon (lo metto tra mat. attivo e specchio)

(NB) ok $FSR > G_{FWHM}$!

{ devo farlo sottile x avere FSR grande

LASER a Sc (a diodo) Single-mode

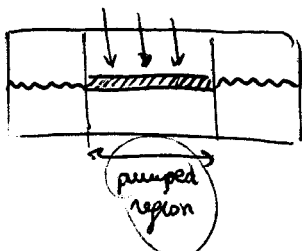
- 1) • **DFB** ($n = n(z)$: modulo indice rifraz.)



(NB) Laser a diodo è piccolo, quindi lo spazio FSR logico in solo picco cade sotto curva di guadagno.
Ma se lo faccio piccolo, ho poco guadagno! Allora:
Io faccio + grande, e x selezionare singolo modo

ma quando passa corrente di pompa; riscaldamento e cambia densità portatori \Rightarrow cambia n
(\rightarrow instabilità) su λ

- 2) • **DBR**



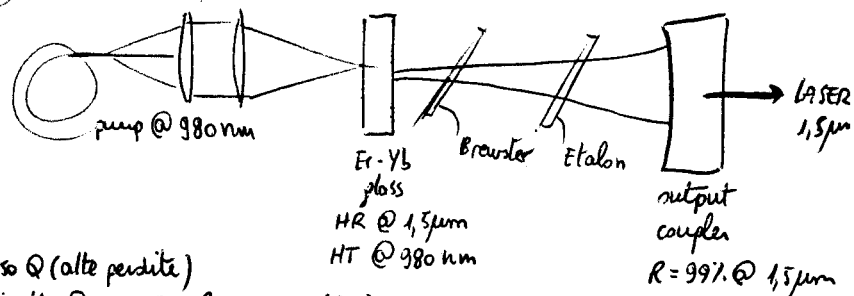
+ stabile \rightarrow la corrente non passa qui nnn

- 3) • **VCSEL**: materiale attivo attraversato è $\approx \lambda$

- 4) • **ECDL** (cavità estesa) \Rightarrow la luce non viene riflessa all'interfaccia SC-aria grazie a stato anti-R.
la luce prosegue oltre fino a uno specchio (posso controllare L cavità)

$1,3\mu\text{m}$ { - Laser a Er in fibra \rightarrow PD
- Laser Er-Yb bulk

\rightarrow realizzato con reticolo diffrazione: solo una λ è L allo specchio e torna indietro \Rightarrow ruotando reticolo seleziona λ .



- * LASER IMPULSATI \rightarrow Q switching basso Q (alte perdite)
poi alto Q \rightarrow impulso energetico)

{ meccanico (1Hz)

{ elettrico-ottico (1KHz) \rightarrow Pockels + polarizz.

{ acusto-ottico (10-100 KHz) \rightarrow sfrutta diffraz. allo Bragg

$\left\{ \begin{array}{l} \tau_p: \text{tra impulsi:} \text{ successivi} \\ \Delta\tau_p: \text{durata impulso} \\ \frac{\Delta\tau_p}{\tau_p} \text{ basso} \rightarrow \text{pot. picco alta} \end{array} \right.$

\rightarrow Mode-Locking: tanti modi long. agganciati in fase:

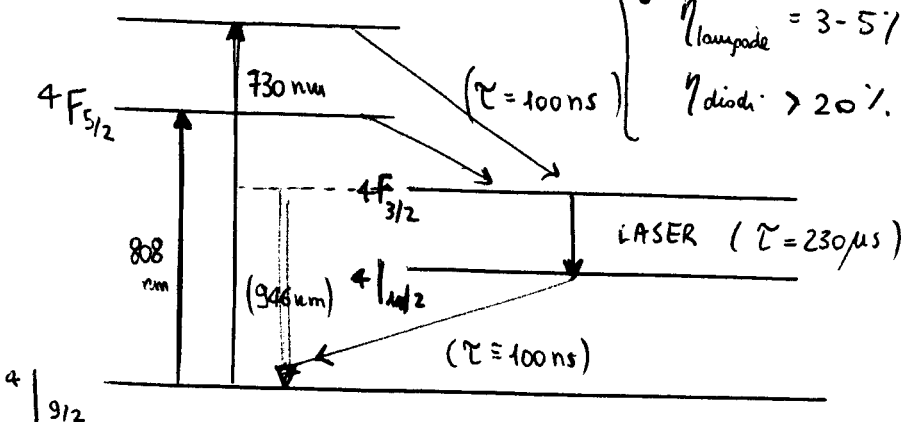
applicazioni laser a fs:

mediche, optical coherence tomography,
spectroscopy, frequency metrology,
micromachining

$$\left\{ \begin{array}{l} \tau_p = \frac{2L}{c} ; f_{\text{rep}} = \frac{1}{\tau_p} = 100 \text{ MHz} - 1 \text{ GHz} \\ \Delta\tau_p = \frac{1}{B} = 10 \text{ ps} - 100 \text{ fs} \\ \text{Peak molto alta} (> \text{GW}) \end{array} \right.$$

Proprietà Nd-YAG

ione matrice



- Doppaggio 1-2% (Nd^{3+} sostituisce Y^{3+})
 - $\Delta\nu_{\text{quadruplo}} = 125 \text{ GHz}$; $\Delta\nu_{\text{vetri}} = 5 \text{ THz}$
 - $\eta_{\text{lampade}} = 3-5\%$.
 $\eta_{\text{diodi}} > 20\%$.
- (angolo \times r.L.)

(Poi anche laserare a 3 livelli, da $127 \rightarrow 107$ (946 nm), ma - efficiente)

Regime impulsato: $\lambda\nu = c \Rightarrow \frac{\Delta\lambda}{\lambda} = -\frac{\Delta\nu}{\nu}$

(ML)

$$\lambda = 1 \mu\text{m} \rightarrow \nu = 300 \text{ THz}$$

$$\Delta\nu_{\text{YAG}} = 0,4 \text{ nm} \quad ; \quad \Delta\nu_{\text{vetri}} = 16 \text{ nm}$$

\downarrow

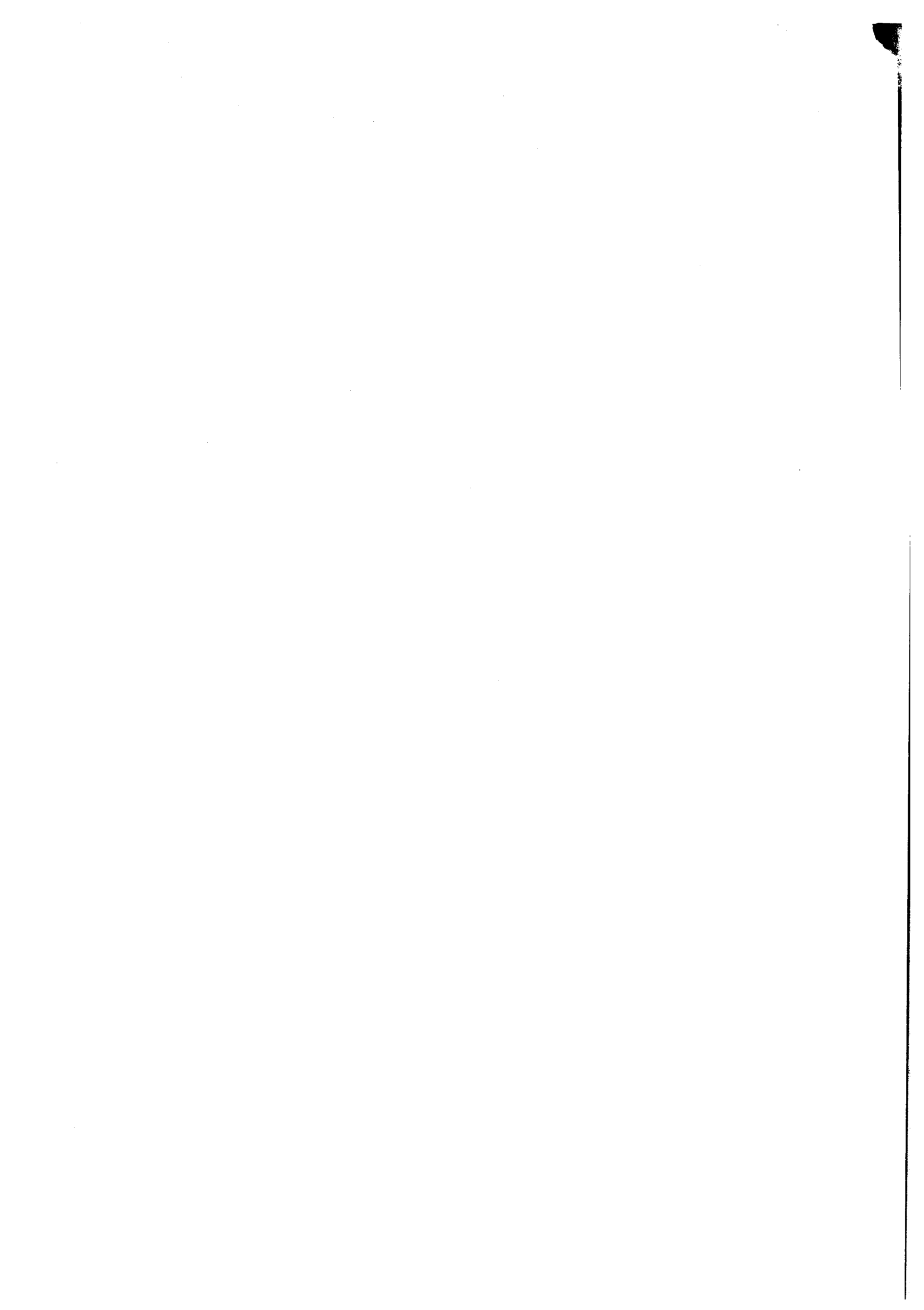
125 GHz

5 THz

$$\Delta t_p \text{ YAG} = 8 \text{ ps}$$

$$\Delta t_p \text{ glass} = 200 \text{ fs}$$

(vedi Tabella caratteristiche laser comuni)



* PRINCIPALI CARATTERISTICHE LASER

- Monochromaticità ($\Delta\nu \approx 10^{-6} - 10^{-9} \times \Delta\nu_{\text{lampada spettrale}}$)
- Brillanza: $\frac{P}{A \cdot \Omega}$ ($B = 10^5 - 10^8 \frac{\text{W}}{\text{m}^2 \cdot \text{sr}}$)
- Stabilità ampiezza ($\frac{\Delta P}{P} = 10^{-5}$) e frequenza ($\frac{\Delta\nu}{\nu} = 10^{-15}$)
- Impulsi ultracorti (10^{-15} s), elevata Peak (10^{15} W)
- Dimensioni (da 1 μm a Km)

Qualità spaziale
 Qualità spettrale
 Lunghezza onda
 Potenza
 Sop
 COERENZA S.p.t
 Esperimenti fisica, metropolitana, telemetria
 interferometrie, comunicaz. ottiche,
 lavori industriali, riferimenti
 ottici; misure/sensori optoelettronici

* PROPRIETÀ DEI FASCI LASER

- Profilo trasversale fondamentale TEM₀₀:
 ↓
 (nel piano x-y
 La z: direz. propog.)

$$\begin{aligned} E &= E_0 e^{-\frac{x^2+y^2}{w_0^2}} \\ I &= I_0 e^{-2\frac{x^2+y^2}{w_0^2}} \end{aligned}$$

: PROFILO GAUSSIANO

w_0 : beam waist ($37\% E_0$
13,5% I_0)
spot size

$$P = \int I dS = \int_0^r I_0 e^{-2p^2/w_0^2} 2\pi p dp = P_0 \left[1 - e^{-2r^2/w_0^2} \right]$$

: potenza raccolta su cerchio
di raggio r .

- Modi di ordine superiore: TEM_{pq}

Se $r = w_0$, raccolgo l'86,5% della
P del fascio.

$$E = E_0 H_p \left(\frac{\sqrt{2}x}{w_0} \right) H_m \left(\frac{\sqrt{2}y}{w_0} \right) \exp \left\{ -\frac{x^2+y^2}{w_0^2} \right\}$$

polinomi di Gauss-Hermite

p, m : ordine dei polinomi
= # zeri.

K PROPAGAZIONE LIBERA → allungamento di macchie: $w^2 = w_0^2 \left[1 + \left(\frac{z}{z_R} \right)^2 \right]$

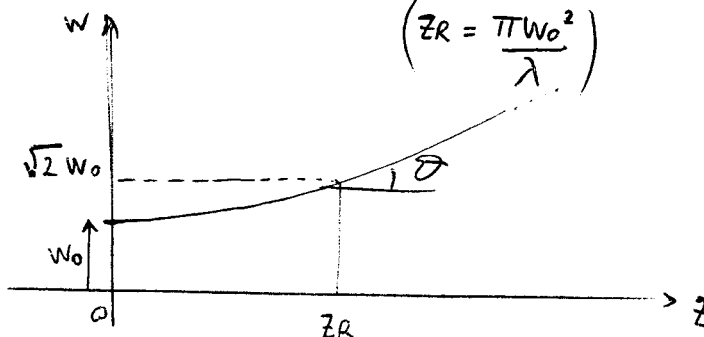
near field $\Rightarrow z \ll z_R \Rightarrow w(z) \approx w_0$
fascio collimato

$$\left(z_R = \frac{\pi w_0^2}{\lambda} \right)$$

far field $\Rightarrow z \gg z_R \Rightarrow w(z) \approx w_0 \cdot \frac{z}{z_R}$

$$w(z) = \frac{w_0 \cdot z \cdot \lambda}{\pi w_0^2} = \theta z$$

$$\left(\theta = \frac{\lambda}{\pi w_0} \text{ : angolo di divergenza} \right)$$



TEM₀₀ è

axis diffraction limited:
ha divergenza minima

$$\theta_{\text{H}} > \theta_{\text{DL}} = \frac{\lambda}{\pi w_0} \rightarrow H^2 = \left(\frac{\theta_{\text{H}}}{\theta_{\text{DL}}} \right)^2 \geq 1 \text{ : indica qualità spaziale}$$

* PROPAGAZIONE GUIDATA

- Modo guidato HEM

- Attenuazione: $A = 10 \log_{10} \frac{P_{\text{prima}}}{P_{\text{dopo}}} \Rightarrow \text{Barra A: } \alpha < 0,2 \text{ dB/km} @ 1,55 \mu\text{m}$

$$NA = \sin \theta_a$$

$$\sqrt{n_1^2 - n_2^2} = \sqrt{2(n) \Delta n}$$

$$1,45 \quad 5 \cdot 10^{-3}$$

Problemi → dispersione cromatica e di polarizzazione

* RUMORE D'AMPIEZZA $\rightarrow E(t) = E_0 [1 + \alpha(t)] e^{-j2\pi\nu_0 t} \quad (\alpha(t) \ll 1)$

legato a tempo vita laser superiore e tempo vita in cavità (+. temperatura e invecchiamento)

OSCILLAZIONI STORZAMENTO: $f_{\text{RIN}} = \left[\frac{x-1}{T_c T_{\text{sp}}} \right]^{1/2}, \quad x = P/P_{\text{thr}}$ + instabilità pomppaggio

$(\text{Rumore } \downarrow \text{ se laser acceso bene})$ $(x \gg 1)$	(FREQ. OSCILLAZ.) $T_{\text{RIN}} = \frac{2 T_{\text{sp}}}{x}$	$(\text{TEMPO STORZAM (exp)})$ \downarrow $\text{necessita di sistemi di stabilizzazione (attiva / passiva)}$ \downarrow $\text{retroaz.} \quad \text{pompa stabile}$
---	--	---

* RUMORE FREQUENZA $\rightarrow E(t) = E_0 e^{-j(2\pi\nu_0 t - \phi(t))}$ $\left(\frac{1}{2\pi} \frac{d\phi}{dt} = \Delta\nu \ll \nu_0 \right)$

$$\nu_i = \frac{1}{2\pi} \frac{d\phi_{\text{tot}}}{dt} = \nu_0 - \frac{1}{2\pi} \frac{d\phi}{dt} = \nu_0 - \Delta\nu$$

$$\nu = m \cdot \frac{c}{2L} \Rightarrow \frac{\Delta\nu}{\nu} = -\frac{\Delta L}{L} \Rightarrow \text{forte dipendenza della freq da L!}$$

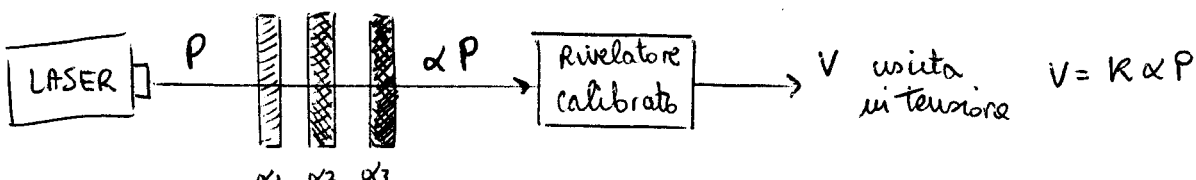
→ sistemi di stabilizzazione (attiva / passiva)

\downarrow
 retroaz. \downarrow
 - uso materiale che non cambia L con T.
 - tempo T cost.

* POTENZA OTICA $\rightarrow E : [\text{V/m}]$

$$I = \frac{EE^*}{\eta_0} = \left[W/m^2 \right] \left(\eta_0 = \left(\frac{\mu_0}{\epsilon_0} \right)^{1/2} = 377 \Omega \right)$$

$$P = \int I dS = [W]$$



attenuatori calibrati

* RIVELATORI FOTO-VOLTAICI / CONDUTTIVI

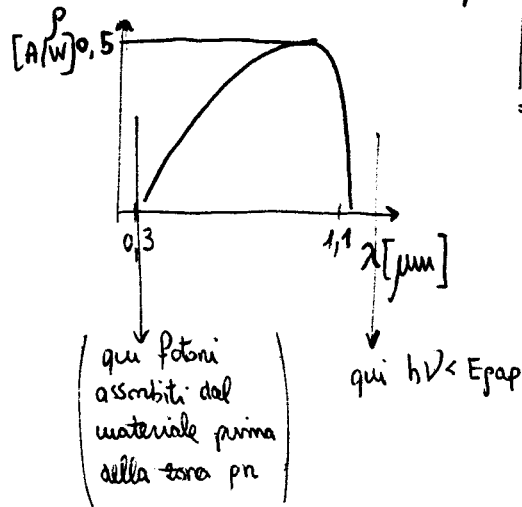
$0,1 \mu\text{m} < 10 \mu\text{m}$

- $h\nu > E_{gap}$ perché fotone sia assorbito

EFFICIENZA QUANTICA : $\eta = \frac{\Delta Ne}{\phi \Delta t} = \frac{\# \text{ fotoelettroni}}{\# \text{ fot. incidenti}} [\%]$ [microscopico]

(flusso fot./s)

RESPONSIVITY : $R = \frac{i}{P} = \frac{\text{Foto corrente}}{\text{potenza ottica}} \left[\frac{A}{W} \right] \approx \left(0,5 - \frac{A}{W} \right) \text{ in genere}$ per Si nel visibile



$$R = \frac{(e \Delta Ne)}{\Delta t} \cdot \frac{i}{\phi \cdot h\nu} = \frac{\eta e}{h\nu} = \frac{\eta e \lambda}{hc}$$

$$\begin{cases} R_{Si} = 0,5 \text{ A/W visibile} \\ R_{InGaAs} = 0,8 \text{ A/W IR} \end{cases}$$

\Rightarrow FOTODIODI : $P = I \cdot S$ $\xrightarrow{\text{intensità luminosa}}$ uscita fotodiodo : $i = (R) \cdot P$

[uscita : i] \downarrow raccolta \downarrow superficie di raccolta responsivity

\Rightarrow FOTORIVELATORI : la corrente del fotodiodo amplificata a transimpedenza $G_{i \rightarrow v} = R(j_2)$

[uscita : V] $\quad V = G_{i \rightarrow v} \cdot i = G_{i \rightarrow v} R P [V]$

$V \propto P \propto I \propto |E|^2 \Rightarrow$ posso rivelare solo variaz. nel tempo di E che ricadono nella banda passante del fotorivelatore [fotodiode + amplif.].

* RIVELAZIONE DIRETTA

Considero : $E(t) = E_0 [1 + Q(t)] \exp \{-j(2\pi\nu_0 t + \phi(t))\}$ (attenuatori)

Tensione fotoindotta : $V(t) \propto E E^* = E_0^2 [1 + Q(t)]^2 \propto P(t) = P_0 \tilde{Q}(t)$

NB Si perdono le info sulla variaz. di fase/frequenza del segnale ottico.
Ho SENSIBILITÀ su variazioni (attenuazioni) di potenza ottica

* BATTIMENTO di 2 segnali ottici \Rightarrow RIVELAZIONE COERENTE (ETERODINA)

Considero 2 fasci incidenti su fotorivelatore (trascurro fluttuz. ampiezza):

$$E_R(t) = E_{R0} \exp \left\{ -j(2\pi\nu_0 t + \phi(t)) \right\} \quad (\text{segnaletto da rivelare})$$

$$E_{L0}(t) = E_{L0} \exp \left\{ -j(2\pi\nu_L t) \right\} \quad (\text{oscillatore locale})$$

$\left. \begin{array}{l} \text{li considero polarizzati} \\ \text{linearmenete nella} \\ \text{stessa direzione} \end{array} \right\}$

$$\Rightarrow E(t) = E_R(t) + E_{L0}(t)$$

$$\Rightarrow P(t) = \frac{EE^*}{\eta_0} \cdot S = \frac{S}{\eta_0} \left\{ (E_R E_R^*) + (E_{L0} E_{L0}^*) + (E_R E_{L0}^*) + (E_{L0} E_R^*) \right\}$$

$$= P_R + P_{L0} + \frac{S}{\eta_0} (E_{R0} E_{L0}) \exp \left\{ -j[2\pi(\nu_0 - \nu_L)t + \phi(t)] \right\} + \text{c.c.} =$$

$$= P_R + P_{L0} + 2\sqrt{P_R P_{L0}} \cos [2\pi(\nu_0 - \nu_L)t + \phi(t)] \quad [\text{NB slide 23}]$$

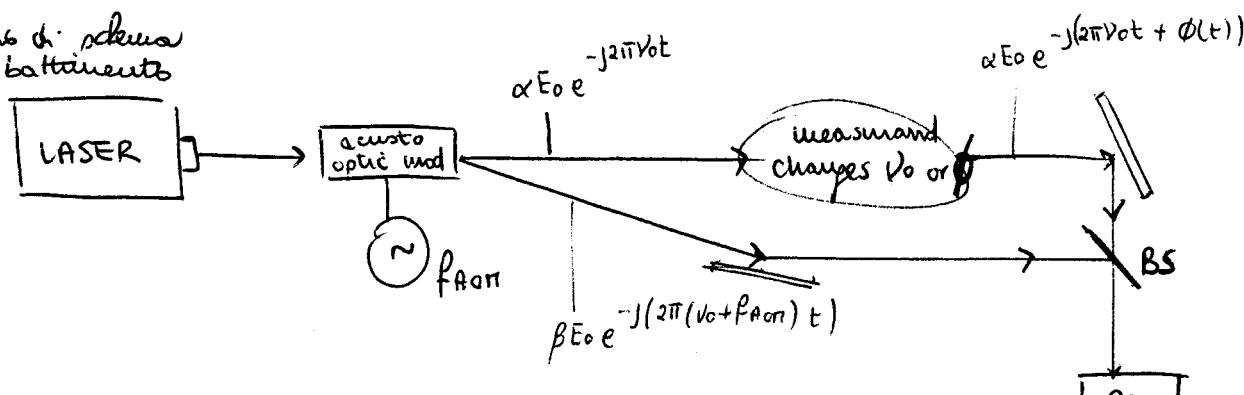
La POTENZA OTTICA DIPENDE dalla FASE
 $\phi(t)$ DEL SEGNALE DA RIVELARE.

$$\left. \begin{array}{l} P_{\max} = \left(\sqrt{P_R} + \sqrt{P_{L0}} \right)^2 \\ P_{\min} = \left(\sqrt{P_R} - \sqrt{P_{L0}} \right)^2 \end{array} \right\} \xrightarrow{\text{caso particolare}} \begin{array}{l} P_{\max} = 4P_0 \\ P_{\min} = 0 \end{array}$$

$E_{R0} = E_{L0}$

(VISIBILITÀ FRANGE : INTERFERENZA) $V = \frac{P_R - P_{\min}}{P_R + P_{\min}}$ (se $P_R/P_{L0} = 1\%$, $\rightarrow V = 20\%$)

tempo di scorrimento
di battimento



$$\sqrt{\alpha} \propto P \propto |E|^2 = (\alpha E_0)^2 + (\beta E_0)^2 + 2\alpha\beta(E_0)^2 \cos [2\pi f_{AOM} t + \phi(t)]$$

ALLINEAMENTO - PUNTAMENTO E MISURE DIMENSIONALI

ALLINEAMENTO LASER: sfrutta ottima collimazione del fascio laser
 ↓
 Limite di divergenza imposto dalla diffrazione

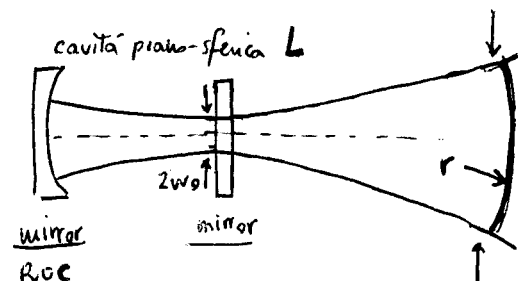
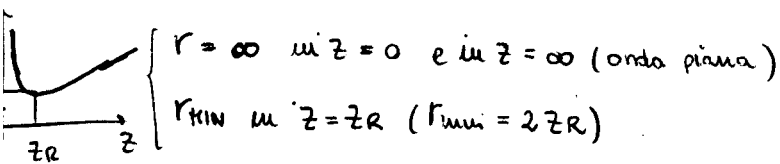
- Propagaz. e trasformaz. fasci gaussiani
- Rivelat. di posizione del fascio laser
- Livella laser
- Misura diametro fil.
- Misura densità particelle

Occorre minimizzare la durata di macchia $(\theta_{DL} = \frac{\lambda}{\pi W_0})$
 Laser su tutto intervallo di lavoro ($\pm z^*$)
 → per fare questo si deve trovare valore ottimo
 di W_0 al centro della zona di interesse → telescopio

PROPAGAZIONE FASCIO GAUSSIANO

$$(z_R = \frac{\pi W_0^2}{\lambda})$$

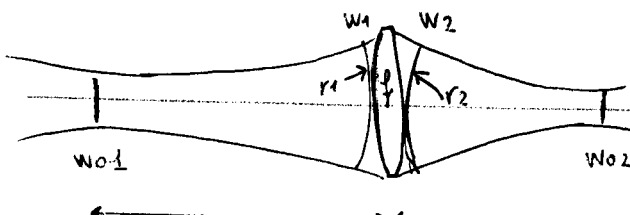
- $W(z) = W_0 \sqrt{1 + \left(\frac{z}{z_R}\right)^2} \approx W_0 \frac{z}{z_R} = W_0 \cdot z \cdot \frac{\lambda}{\pi W_0^2} = \frac{\lambda z}{\pi W_0} = \theta_{DL} \cdot z \quad (z \gg z_R)$
- $r(z) = z \left[1 + \left(\frac{z_R}{z} \right)^2 \right] \approx z \quad (\text{per } z \gg z_R)$



$$ROC = r(L) = L \left[1 + \left(\frac{\pi W_0^2}{\lambda L} \right)^2 \right] \rightarrow W_0 = \sqrt{\frac{\lambda L}{\pi}} \left[\frac{ROC}{L} - 1 \right]^{1/4}$$

* $ROC \geq L$ affinche' risonat. stabile

PROPAGAZIONE attraverso LENTE



$$\left[\frac{1}{r_1} + \frac{1}{r_2} = \frac{1}{f} \right] \quad (\text{vale per } W_1 = W_2)$$

lente patta

$\frac{W_0}{r}$ dopo lente è costante, (e anche $\frac{W_0}{L}$ costante)

- 1) conosco W_{01} e W_1, r_1
- 2) ricavo $r_2 \Leftarrow$
- 3) uso $W_1 = W_2$
- 4) ricavo W_{02}

essendo $\theta = \lambda / \pi W_0$

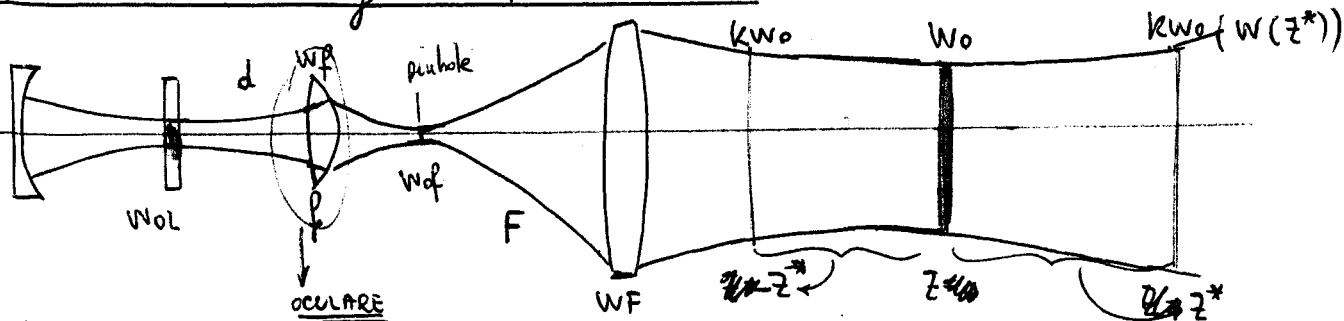
$$\frac{r_1}{W_{01}} \approx \frac{r_2}{W_{02}} \Rightarrow \frac{W_{01}}{W_{02}} \approx \frac{r_1}{r_2} \approx \frac{L_1}{L_2}$$

infatti: poiché $z \gg z_R \Rightarrow r_{1,2} \approx L_{1,2}$; quindi $\theta_1 r_1 \approx W_1 \approx W_2 \approx \theta_2 r_2 \Rightarrow$

$$\Rightarrow \text{magnificazione: } m = \frac{W_{02}}{W_{01}} = \frac{r_2}{r_1} = \frac{L_2}{L_1} \quad \left(\frac{1}{L_2} + \frac{1}{L_1} = \frac{1}{f} \right)$$

(se vogliamo allungare W_{01} rispetto a W_{02} , occorre $r_1 > r_2$, dunque $L_1 > L_2$)

Collimazione su un range $\pm z^*$, con telescopio



Al variare di W_0 si cerca il minimo $W(z^*)$, con z^* fissato.

$$W^2 = W_0^2 \left[1 + \left(\frac{\lambda z^*}{\pi W_0} \right)^2 \right] \Rightarrow \frac{\partial W}{\partial W_0} = 0 \Rightarrow z^* = \frac{\pi W_0^2}{\lambda} = z_R \quad (\text{devo scegliere } W_0 \text{ t.c. } z^* = z_R)$$

$$\begin{cases} \frac{W_{0,f}}{W_{0,L}} = \frac{f}{d} \\ \frac{W_0}{W_{0,f}} \approx \frac{z}{F} \end{cases} \rightarrow \left[W_0 \approx \frac{z}{F} \cdot \frac{f}{d} W_{0,L} \right]$$

$$W_0 = \sqrt{\frac{\lambda z^*}{\pi}}$$

$$M = \frac{W_0}{W_{0,L}} = \frac{z}{d} \cdot \frac{1}{\pi}$$

$$M = \frac{F}{P} = \frac{W_F}{W_P}$$

↳ magnificazione del telescopio

✓ TELESCOPIO PER ALLINEAMENTO (esistono canalizzazioni marino)

Laser He-Ne ($0,5 \div 2 \text{ mW}$) + telescopio diametro 50mm, $H = 20 \div 50$.

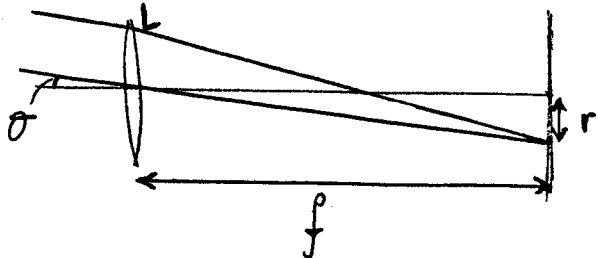
(il fascio può rimanere collimato \times decine - centinaia di metri.)

- ✓ ALLINEAMENTO CON LIVELLA LASER: \times misurare quota h o angolo φ su una sup. di lavoro.
- la bolla distribuisce, su un'area di raggio 20-50m, un fascio a ventaglio "orizzontale", e quota costante, variando l'angolo di rotazione.
 - Occorre "mettere in bolla" il fascio lanciato: il laser + telescopio illumina verticalmente (dal basso) uno specchio a 45° , o un pentaprisma che riflette luce a 90°
 - ruota solo il pentaprisma
 - riferimento \times la verticale è la sup. del liquido. solo quando ha interferenza v_sol dire che sono allineati. Con due prismi regola direttorie x e y del fascio.

CENTRATURA FASCIO LASER e FOTORIVELATORI SENSIBILI ALLA POSIZIONE

- allineamenti a occhio
- fotom. con segnale α errore + controreazione \rightarrow [fotodiode a 4 quadranti; sensore PSD, (CCD); fotodiode normale + reticol. rotante]

TRASF. da COORD. ANGOLARE a COORD. SPAZIALE



per trovare θ , osservo spostamento dello spot rispetto all'asse ottico nel piano focale della lente

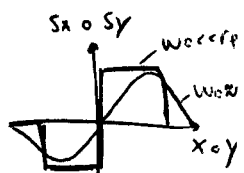
$$r = f \tan \theta \approx f \cdot \theta \quad (\theta \ll 1)$$

FOTODIODO a 4 QUADRANTI

Posso combinare le 4 photocorrenti x e ricavare 2 segnali proporzionali alle coord. x e y del fascio

$$\begin{cases} S_x = (S_2 + S_4) - (S_1 + S_3) \\ S_y = (S_1 + S_2) - (S_3 + S_4) \end{cases} \quad (\text{posso normalizzare: } P_0 \propto S_0 = S_1 + S_2 + S_3 + S_4)$$

estrazione delle coord. x e y : circ. con OP-AMP (trans-imp.+ sommatori / sottrattori)



- La risposta del sensore dipende da durata e forma spot
- $\sigma_{x,y} = 10\% - 3\% \cdot I_{PD}$

SENSORE POSIZIONE ANGOLARE a 4 QUADRANTI: un fotodiode sensibile alla posizione (4quadr., PSD, reticolo) oltre che alla posiz. può anche rilevare direzione angolare (θ_x, θ_y) del fascio di arrivo.

Se il sensore è posto nel piano focale di una lente, la coord. angolare viene trasformata in deflessione spaziale: $X = F \theta_x$; $Y = F \theta_y$

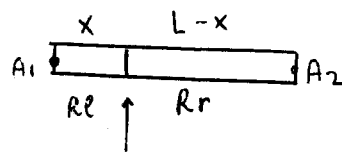
(campo di vista: $\text{FOV} = \frac{I_{PD}}{F}$)

FOTODIODO PSD (Position sensitive detector): è un fotodiode PIN con regioni p e n sottili e poco dorate (\uparrow resistenza serie). La luce incidente produce photocorrente che passa dagli elettrodi Y ($\lambda(400-1100 \text{ nm})$) agli elettrodi X (anodo) [vedi schema slide]

la corrente, dovrendo attraversare regioni p e n di alta resistività si divide (partitore corrente) la differenza tra le correnti raccolte su coppia di elettrodi omologhi fornisce la coordinata.

\Rightarrow Elevata LINEARITÀ su tutto il range di misura

Modello elettrico



$$\left. \begin{array}{l} R_L = x\rho \\ R_r = (L-x)\rho \end{array} \right\} \begin{array}{l} \text{partiz. corrente verso i 2 anodi: } I_C = I_{ph} = I_L + I_R \\ \text{con } d\delta\rho : \frac{R_r R_L}{R_r + R_L} I_{ph} = R_L I_L = R_r I_R \end{array}$$

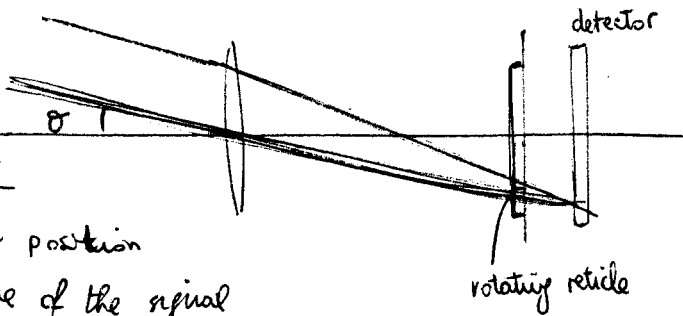
$$\left. \begin{array}{l} x = -R(I_{x1} - I_{x2}) = \left(\frac{2x}{L} - 1\right) R I_{ph} \propto x \\ y = -R(I_{y1} - I_{y2}) = \left(\frac{2y}{L} - 1\right) R I_{ph} \propto y \end{array} \right\} \left. \begin{array}{l} I_L = \frac{R_r}{R_r + R_L} I_{ph} = \frac{L-x}{L} I_{ph} = \left(1 - \frac{x}{L}\right) I_{ph} = I_{x1} + \\ I_R = \frac{R_L}{R_r + R_L} I_{ph} = \frac{x}{L} I_{ph} = I_{x2} \\ I_{y1} = -\left(1 - \frac{y}{L}\right) I_{ph} \\ I_{y2} = -\frac{y}{L} I_{ph} \end{array} \right\}$$

($T_{ph} = 0 \text{ P}$) Insensibile $\rightarrow T_{ph} \propto -\frac{1}{T} \propto -\frac{1}{T_{ph}}$

* POSITION SENSING WITH RETICLES

light is imaged by lens on focal plane, where it is chopped by the reticle. By comparing phase shift of wave from photodetector and reference, the position θ of the source is determined. The amplitude of the signal carries info on polar coordinate p .

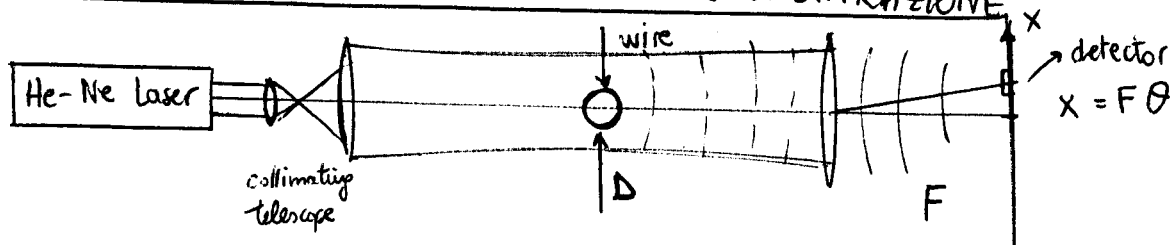
(Rising sun or digital readout reticle)



rotating reticle

detector

* MISURE DIAMETRO FILI dall'ANALISI del PROFILLO di DIFFRAZIONE



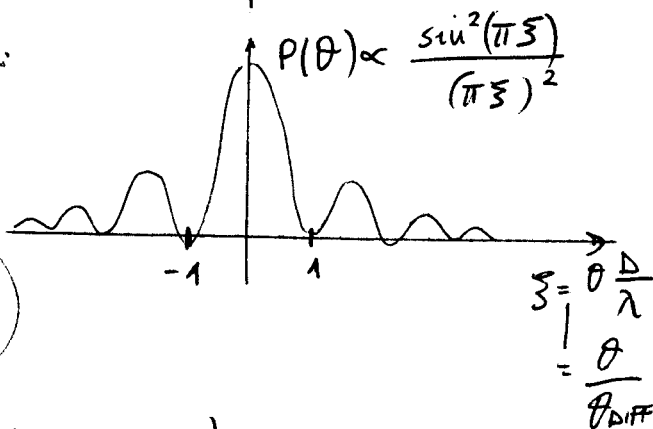
il campo E sul rivelatore è la TDF dell'apertura :

- trasf. del rettangolo è sinc($\pi\theta/\theta_0$)

- primi zeri: $\theta = \theta_{0,DIFF} = \pm \frac{\lambda}{D}$

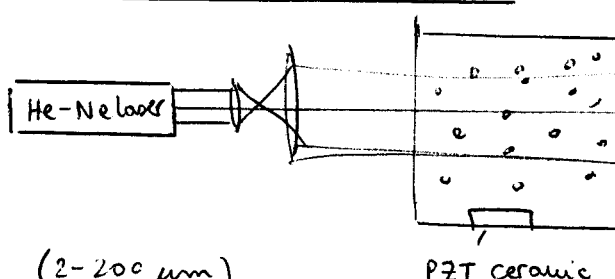
$$x_{\text{ZERO}} = \pm \frac{F\lambda}{D} \quad \left. \right\} \Rightarrow D = \frac{F\lambda}{x_{\text{ZERO}}}$$

(con D piccolo: x_{zero} grande: + facile misurare fili con diametro piccolo)



(da 10 μm fino a 2 mm.)
±1% acc ±5% acc

* MISURA DIAMETRO PARTICELLE



LAES (low angle elastic scattering) : il campo elettrico sul rivelatore

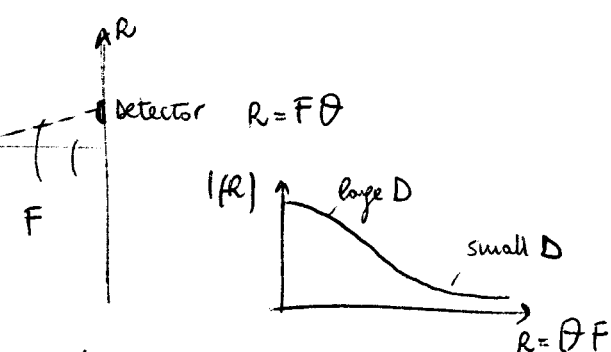
è la TDF dell'apertura: la TDF del cerchio è somb $\left[\left(\frac{R}{F} \right) / (\lambda/D) \right] = \text{somb} \left[\theta / \theta_0 \right]$

Un fotorivelatore misura $I(R) = I_0 \int_{c-\infty}^R \text{somb}^2 \left[\frac{R}{F} \cdot \frac{D}{\lambda} \right] \cdot p(D) dD$

- Rayleigh - intermediate - Mie

SEAS ($0,02 \dots 0,1 \mu\text{m}$) → θ fissato, varia λ

- DSSA ($1 \dots 100 \text{ nm}$) → based on doppler's effect



dove riceviamo:

- Analytical inversion (impractical)
- least Square Method [discrete approx for $p(D)=p_{DC}$ and $I(\theta)=I_m$]
- Iterative methods

TELEMETRI OTTICI

↓
(rileva la distanza L tra strumento e bersaglio)

SOMMARIO:

- principi di misure e applicazioni
- triangolazione (attiva/passiva)
- a tempo di volo
- LIDAR

a) TRIANGOLAZIONE: bersaglio triangolato da due punti a distanza D su una stessa linea di base. Misurando (short range) [0,1-10 m] angolo visivo distanza: $L \approx D/\alpha$

b) TEMPO DI VOLO: laser pulsato o con sinusoidale (fm) $\rightarrow T = \frac{2L}{c} \rightarrow L = \frac{cT}{2}$
 [long range] [short range] [10 km] $\Delta\phi = 2\pi f_n T \Rightarrow \frac{\Delta\phi}{2\pi f_n} = \frac{2L}{c} \Rightarrow L = \frac{c}{2} \cdot \frac{\Delta\phi}{2\pi f_n}$
 (conteggio in termini di $2\pi/2$) $= \frac{\lambda n}{2} \frac{\Delta\phi}{2\pi}$

c) INTERFEROMETRO TRIA: rivelazione coerente. Segnale rivelato va come $\cos(2KL)$ e dalla fase della funz. coens si può contare l'incremento di distanza in termini di $\lambda/2$ e sue frazioni. $L = \frac{\lambda}{2} \frac{\Delta\phi}{2\pi}$
 [very high resolution] [100-10 nm]

* TRIANGOLAZIONE



(→ misura poco accurata se fatta su grandi distanze (cioè $L \gg D$)
 infatti se α piccolo, $\frac{\Delta\alpha}{\alpha} \uparrow$. ($\alpha < 10 \text{ mrad}$)

$$\begin{cases} \frac{D}{L} = \tan \alpha \approx \alpha \text{ se } \alpha \ll 1 \\ L \approx D/\alpha \end{cases}$$

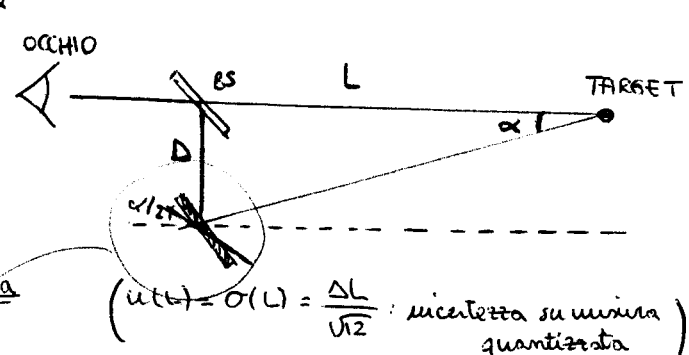
⇒ TRIANGOLATORE OTTICO PASSIVO

$$L \approx D/\alpha \Rightarrow \Delta L = -\frac{D}{\alpha^2} \Delta\alpha = -\frac{L^2}{D} \Delta\alpha$$

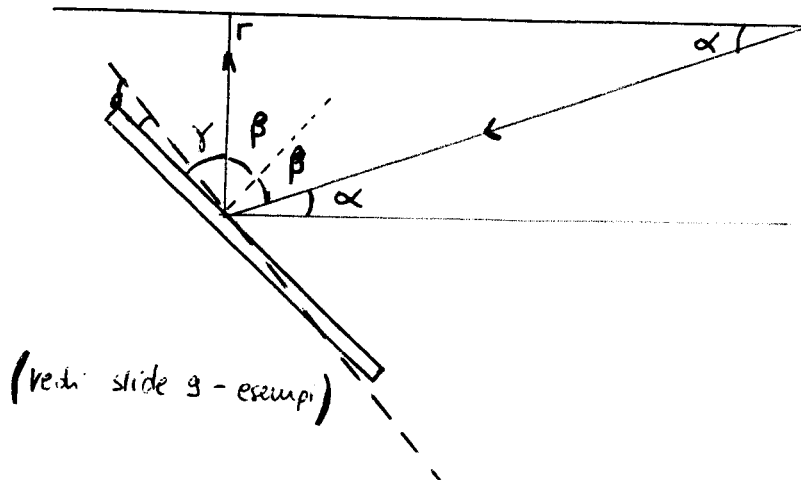
$\Delta L = K \Delta\alpha$; errore o incertezza assoluta

↑ come L^2
 isd. pegiora
 rispetto a L

$$\frac{\Delta L}{L} = -\frac{\Delta\alpha}{\alpha} \propto \frac{1}{\alpha} : \text{errore o incertezza relativa}$$



meccanismo "LEVA OTTICA"



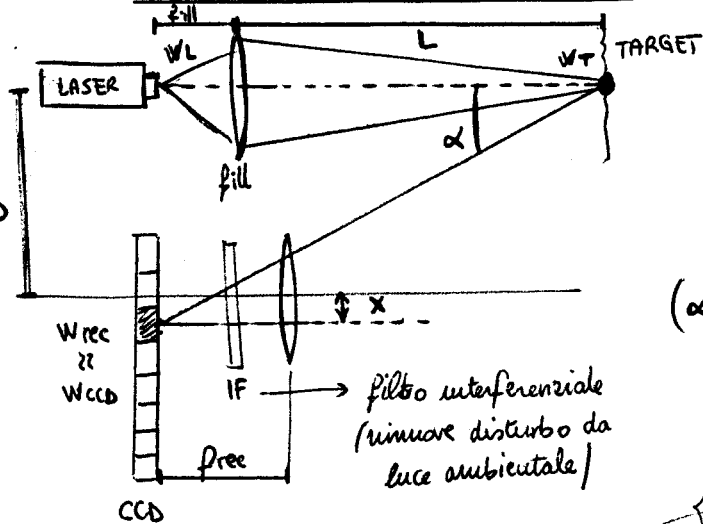
$$\begin{cases} \gamma + \beta = 90^\circ \\ \alpha + 2\beta = 90^\circ \\ \gamma - \delta = 45^\circ \end{cases}$$

$$\delta + \beta = 45^\circ$$

$$\frac{\alpha}{2} + \beta = 45^\circ$$

$$\delta = \frac{\alpha}{2}$$

⇒ TRIANGOLATORE OTTICO ATTIVO



- si ottiene risposta rapida e accurata, ben ripetibile
 - λ nel visibile \times semplicità
 - fascio laser fa andata e ritorno. Risulta con sensore posizione ottica dell'angolo α tra fascio andata e ritorno. ottica ricezione disassata a distanza D dall'ottica di lancio
- $$L = D / \tan \alpha$$

(α misurato come spostamento nel piano focale della lente)

$$\alpha = \text{atan} \left(\frac{D}{L} \right) = \text{atan} \left(\frac{x}{f_{\text{rec}}} \right)$$

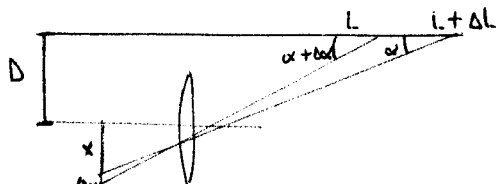
$$L = \frac{D}{x} f_{\text{rec}} \propto \frac{1}{x}$$

$$\frac{WL}{fill} = \frac{WT}{L} = \frac{W_{\text{rec}}}{f_{\text{rec}}} \Rightarrow W_{\text{rec}} = \frac{f_{\text{rec}}}{WL} WL$$

Equazioni della misura :

$$L = \frac{D}{\alpha} \text{ distanza misurata come angolo}$$

$$f_{\text{rec}} = \frac{x}{\alpha} \text{ conversione angolo-spostamento}$$



→ A una variazione $L \pm \Delta L$ corrisponde variazione

$\alpha \mp \Delta \alpha$ e $x \mp \Delta x$ (è la lente che converte $\alpha \rightarrow x$)

• $\Delta L = - \frac{D}{x^2} f_{\text{rec}} \Delta x$ come per triang. passivo, ma con $x \pm \Delta x$ al posto di $\alpha \pm \Delta \alpha$.

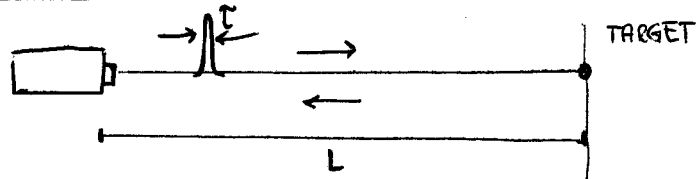
$$= - \frac{L^2}{D f_{\text{rec}}} \Delta x \propto L^2$$

$$\bullet \frac{\Delta L}{L} = - \frac{\Delta x}{x} = - \frac{\Delta \alpha}{\alpha}$$

$$\begin{aligned} &\Rightarrow \Delta L \propto L^2 \\ &\Rightarrow \frac{\Delta L}{L} \propto L \end{aligned} \quad \begin{array}{l} \text{[con triang passivo.]} \\ \text{[con triang passivo.]} \end{array}$$

* TELEMETRI a TEMPO DI VOLO (TOF)

Impulsati



$$T = \frac{2L}{c} \Rightarrow L = \frac{cT}{2}$$

$$\Delta L = \frac{c}{2} \Delta T \Rightarrow \frac{\Delta L}{L} = \frac{\Delta T}{T}$$

• $T \ll \Delta T \Rightarrow$ un servizio anche elettronico di fotorivelazione veloce con banda $B \approx 1/T$

La misura di T si fa con contatore elettronico (T_c) che conta distanza tra T_{start} e T_{stop} , la posizione degli impulsi sull'asse tempo è determinata da trigger su impulsi tensione.

$$T = T_{\text{stop}} - T_{\text{start}} = N T_c$$

(NB) rumore di quant. dominante da rumore aggiunto al trigger

$$u_q(t) = \sigma(t) = \frac{T_c}{\sqrt{12}} \quad \text{incertezza sull'asse} \frac{T_c}{T_{\text{start}} \text{ e } T_{\text{stop}}} \Rightarrow \text{incertezza: } \frac{T_c}{T} \quad (\text{a meno che } T_{\text{start}} \text{ non faccia punto})$$

$$\Delta L = 1 \text{ m} \rightarrow \Delta T = 7 \text{ ns}$$

$$\Delta L = 1 \text{ mm} \rightarrow \Delta T = 7 \text{ ps}$$

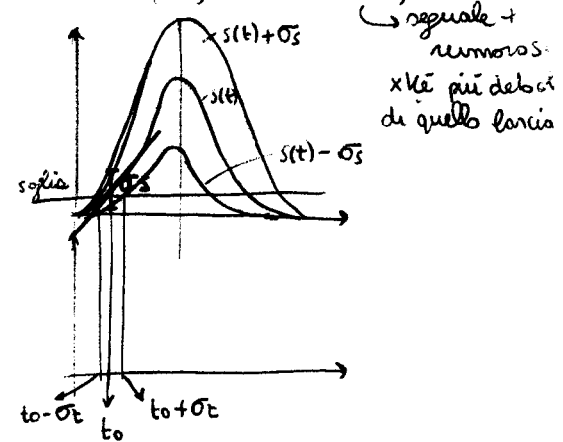
↓
difficile andare sotto
(il min con TOF convenz.)

ΔL è costante e
dipende solo dal c
che si riesce a risalire

↓
 ΔL dipende più
da T

$$\Rightarrow \text{Discriminazione a soglia e rumore: } \sigma^2(T) = \sigma^2(T_{\text{totant}}) + \sigma^2(T_{\text{stop}}) \approx \sigma^2(T_{\text{stop}})$$

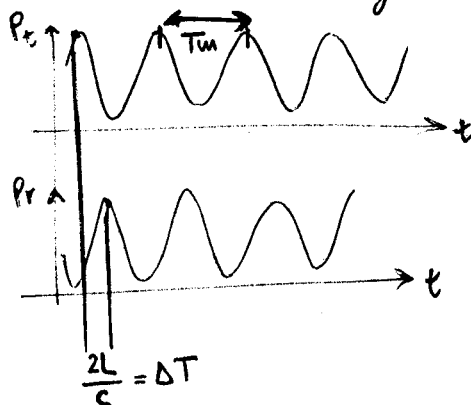
La posizione degli impulsi sull'asse dei tempi è determinata da TRIGGER - il rumore di ampiezza, σ_s^2 si traduce in rumore di tempo $\sqrt{\sigma_s^2}$ secondo la pendenza nel pto di trigger.



A onda continua

$$P(t) = P_0 \left[1 + m \sin(2\pi f_{\text{mod}} t) \right]$$

Si misura lo sfasamento tra segnale ricevuto e trasmesso.



$$\frac{\Delta\varphi}{2\pi} = \frac{\Delta T}{T_{\text{mod}}}$$

$$\left(\Delta\varphi = \frac{2\pi}{\lambda_m} 2L = \frac{2\pi}{c} f_{\text{mod}} \cdot 2L \right)$$

$$L = \frac{c}{2} \frac{\Delta\varphi}{2\pi f_{\text{mod}}}$$

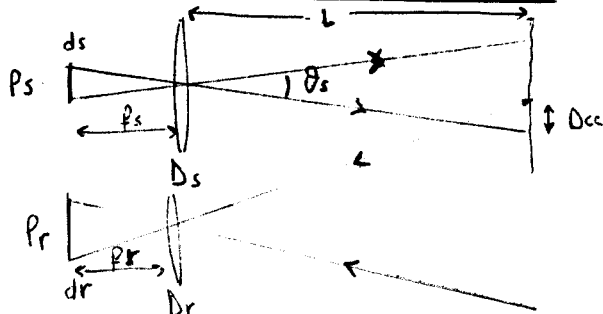
$$L = \frac{c}{2} \frac{1}{2\pi f_{\text{mod}}} \Delta\varphi = S^{-1} \Delta\varphi$$

La sensibilità S della misura $\uparrow \propto f_{\text{mod}}$

$$S = \frac{\delta(\Delta\varphi)}{\delta L} = \frac{2\pi f_{\text{mod}}}{c/2} \propto f_{\text{mod}}$$

ma non posso \uparrow troppo f_{mod} se non si hanno problemi di ambiguità.

POWER BUDGET X TELEMETRI OTTICI

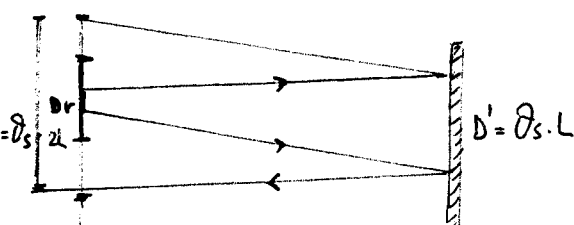


$$\theta_s = \frac{ds}{P_s} \quad (L \gg f_s, f_r, D_s, D_r)$$

- bersaglio cooperativo: $R = 1$ (corner cube / sup. speculare)
- " non cooperativo diffusività $\delta < 1$ (sup. diffondente)

- COOPERATIVO: il ricevitore vede sorgente con se fosse a dist. $2L$.

$$\frac{P_r}{P_s} = \frac{(\pi/4) \Delta r^2}{(\pi/4) 4L^2 \theta_s^2} \quad \left(\begin{array}{l} R \text{ tutto il ricevitore} \\ \text{è illuminato} \\ D > D_r \end{array} \right)$$



{ Se corner cube diaframma fascio ($D_{cc} < \theta_s L$) e il ricevitore raccoglie tutto il fascio:

$$\frac{P_r}{P_s} = \frac{D_r^2}{4L^2 \theta_s^2} = \frac{(2D_{cc})^2}{4L^2 \theta_s^2} = \frac{D_{cc}^2}{\theta_s^2 L^2}$$

$$\left(\begin{array}{l} D_r \gg D_{cc} + \theta_s L = 2D_{cc} \\ D_{cc} < D_r/2 \end{array} \right)$$

{ Se anche il ricevitore diaframma il fascio:

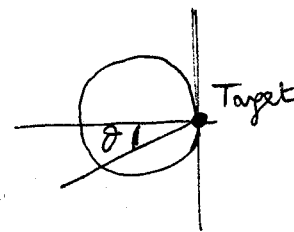
$$\alpha_1 = \frac{D_{cc}^2}{(\theta_s L)^2} \quad \alpha_2 = \frac{D_r^2}{(2D_{cc})^2} \Rightarrow \alpha = \alpha_1 \cdot \alpha_2 = \frac{D_r^2}{4L^2 \theta_s^2} = \frac{P_r}{P_s}$$

$$\star \frac{D_r}{2L} < \frac{D_{cc}}{L} \Rightarrow \text{solo se } \left(D_{cc} < \frac{D_r}{2} \right) \text{ sarà il corner cube a raccogliere}$$

- NON COOPERATIVO: la sup. illuminata è diffondente ($\delta < 1$)

Diffusione Lambertiana: $I = I_0 \cos \alpha$

$$\text{Radianza} = \frac{1}{\pi} \int \frac{P_s}{A_T} d\Omega = B \left[\frac{W}{m^2 \text{sr}} \right]$$



Indicando con Δr l'angolo solido con cui il bersaglio vede il ricevitore, sarà:

$$\Delta r = \pi \theta_r^2 = \frac{\pi D_r^2}{4L^2}, \text{ essendo } \theta_r = \frac{D_r/2}{L}$$

$$P_r = B \cdot A_T \cdot \Delta R = \frac{\delta P_s}{\pi} \cdot \frac{\pi D_r^2}{4L^2} = \delta P_s \frac{D_r^2}{4L^2}$$

$$\frac{P_r}{P_s} = \delta \frac{D_r^2}{4L^2} \quad \left[\begin{array}{l} \text{come per il cooperativo, ma con } \delta \text{ anziché } \frac{1}{\theta_s^2}, \text{ e} \\ \text{ovviamente } \delta \ll \frac{1}{\theta_s^2} \end{array} \right]$$

\Rightarrow Se tengo conto anche di DIFFRAZIONE e PERDITE AGGIUNTIVE

\rightarrow perdite di potenza delle ottiche ($T_{opt} \leq 1$) e della tratta $2L$ in atm ($T_{atm} \leq 1$)

$$\left. \begin{aligned} \left[\frac{P_r}{P_s} \right]_C &= T_{opt} T_{atm} \frac{D_r^2}{4\theta_s^2 L^2} \\ \left[\frac{P_r}{P_s} \right]_{NC} &= T_{opt} T_{atm} \delta \frac{D_r^2}{4L^2} \end{aligned} \right\} \Rightarrow \frac{P_r}{P_s} = G \frac{D_r^2}{4L_{eq}^2}; \quad \left\{ \begin{array}{l} L_{eq} = \frac{L}{T_{atm}} \\ G = \frac{T_{opt}/\theta_s^2}{T_{opt} \delta} C \end{array} \right.$$

G : grandezza del telemetro:

$$(\alpha = \text{FOV} = \frac{D_r/2}{L_{eq}})$$

- cooperativo: $G = \frac{T_{opt}}{\theta_s^2} \approx 10^6$ se $\theta_s \approx 1 \text{ mrad}$

- non cooperativo $G < 1$ ($\delta \approx 0,5 \div 1$)

(delle buone ottiche trattate anti-R...) $\Rightarrow T_{opt} > 0,9 - 0,98 \approx 1$

Assorbimento e diffusione atmosferica:

$$T_{atm} = e^{-2\alpha L} = \frac{P(2L)}{P(0)} \quad [\text{lambert-Beer}], \quad \alpha = \alpha(\lambda) + s(\lambda)$$

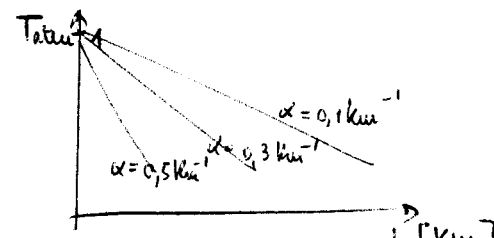
atm limpida: $\alpha = 0,1 \text{ km}^{-1}$
 $0,3 \text{ km}^{-1}$

foscia $\alpha = 0,5 \text{ km}^{-1}$

nubola $\alpha \gg 0,5 \text{ km}^{-1}$

[vedi esemp.]

abs. scatt. (se centri diff. picchi)
(si trascurano se evita
i picchi di abs molecolari) Rayleigh
scatt. $\propto \frac{1}{\lambda^4}$



$$\text{SNR telemetro} \quad \left(\frac{S}{N} = \frac{P_r}{P_n} \right) \quad \text{NB } i_{n,\text{rec}}^2 = 2q I_{\text{rec}} B \rightarrow P_n \propto i_{\text{rec}} \propto \sqrt{B}$$

$$\frac{P_r}{P_s} = G \frac{Dr^2}{4Leq^2} \rightarrow G \cdot P_s = \frac{4Leq^2}{Dr^2} P_r = \frac{4Leq^2}{Dr^2} \left(\frac{S}{N} \right) P_n \Rightarrow \left(\frac{S}{N} \right) = \frac{G \cdot P_s}{P_n} \frac{Dr^2}{4Leq^2} \propto \left\{ \frac{D}{L} \right\}^2$$

potenza equiv.
telemetro

$$P_n = 3 \text{ contributi di rumore} = P_{n,s} + P_{n,bg} + P_{n,el}$$

$$\begin{aligned} \text{Corrente} &= I_r + I_{bg} = P (P_{r,s} + P_{r,bg}) \\ &\downarrow \quad \downarrow \\ \text{seguale} & \quad \text{background} \\ \text{utile} & \\ (I_{\text{rec}} &= I_r + I_{bg}) \end{aligned}$$

danno rumore di corrente! rumore Irec
di uscita Irec

$i_r^2 = 2q I_r B$
 $i_{bg}^2 = 2q I_{bg} B$
 $i_{el}^2 = 2q I_{el} B$ → questo rumore c'è dopo il
fotodiodo ma viene riportato
in ingresso ($P_{n,el}$)

$$i_{\text{rec}}^2 = i_{n,s}^2 + i_{bg,n}^2 + i_{n,el}^2 = 2q B (I_r + I_{bg} + I_{el})$$

$$P_n^2 = \frac{2h\nu}{\eta} B (P_{r,s} + P_{r,bg} + P_{el})$$

riporta indietro il rumore $P_{n,el}$: P_{el} sarebbe la
potenza ottica che dà $P_{n,el}$! (fittizia!)

Valutazione della luce di fondo (assumo che la scena sia diffusore lambertiano)

→ Ricavo a partire da condiz. lavoro (AM, nuvolosità, etc) e' irradianza spettrale della scena Escena ($\frac{W}{m^2 \cdot \mu m}$) che moltiplicata $\times \Delta\lambda$ del filtro interferencesiale dà intensità luce fondo: $I_{\text{scena}} = \text{Escena} \cdot \Delta\lambda$ (W/m^2)

$$I_{bg} = I_{\text{scena}} \cdot \frac{1}{\pi} \cdot \Omega_{\text{sc}} \cdot \delta_{\text{sc}} \quad [W/m^2]$$

$$P_{bg} = I_{\text{scena}} \frac{1}{\pi} \cdot \pi N A^2 \delta_{\text{sc}} \cdot \frac{\pi dr^2}{4} \quad [\text{W}]$$

$= \delta_{\text{sc}} \cdot \text{Escena} \cdot \Delta\lambda \cdot N A^2 \cdot \frac{\pi dr^2}{4}$

$\Omega_{\text{sc}} = \pi N A^2$
 $= \frac{1}{\pi} \theta^2$
 $(NA = \sin \frac{Dr}{2f} = \theta)$

ACCURATEZZA TELEMETRO PULSATO

$$L = \frac{CT}{2} \Rightarrow \sigma_L = \frac{C}{2} \sigma_T$$

$$T = T_{\text{stop}} - T_{\text{start}}$$

$$\sigma_T^2 = \sigma_{T_{\text{stop}}}^2 + \sigma_{T_{\text{start}}}^2 \approx \sigma_{T_{\text{stop}}}^2$$

$$\sigma_T^2 = \frac{\sigma_s^2}{|ds/dT|^2}$$

(conviene lavorare con impulsi corti)

* Se ricevitore ben progettato (shot-noise limited)

$$\sigma_T \propto \frac{T}{\sqrt{Nr}} \rightarrow \text{n° fotoni ricevuti su un singolo impulso o una media di } N \text{ impulsi.}$$

* Se non SNL, rumore luce fondo e elettronica peggiorano prestazioni.

* ACCURATEZZA TELEMETRO SINUSOIDALE

(conviene lavorare a f_r alta)

$$\sigma_L = \frac{c}{2} \sigma_T$$

$$\sigma_T \propto \left(\frac{1}{2\pi f_m} \right) \frac{1}{\sqrt{N_r}}$$

NB

per impulsi brevi (maggior Peak è minore σ_T) serve + banda \rightarrow aumenta rumore! (Difficile fare SNR con $B_{CW} = \frac{1}{2T_m}$) impulso

equivalente alla durata T nel caso pulsato.

F AMBIGUITÀ TOF \Rightarrow bersagli e L \neq possono ritornare segnale con = info di misura

Per non avere ambiguità:

- PULSATO: $T_{MAX} = T(L_{MAX}) \leq T_{REP}$ [non posso \uparrow troppo freq \times \uparrow medie]
- MODULAZ. SIN ($f_{MAX} = f(L_{MAX}) = 2\pi f_m T_{MAX} \leq 2\pi \Rightarrow f_m \leq \frac{1}{T_{MAX}}$) $\left(\begin{array}{l} L_{MAX} = L_N \\ T_{MAX} = \frac{2L_N}{c} \end{array} \right) \frac{1}{f_{TEL}}$
(vedi esempi)

* LIDAR (Light Identification and Ranging)

- colto simile a telemetri, è strumento x misura a distanza delle proprietà di un mezzo all'interno del quale si trasmette (e si retrodiffonde, backscattering) l'impulso ottico.
- si usa sorgente laser con elevata Ppeak (Q SWITCHING) a λ $\sigma + \lambda$ x misurare picchi abs / scatt. del mezzo (gas o particolato in atm / uccinanti / plancton / alghe, etc)
[seguito backscattering \Rightarrow tecnica OTDR]
 \hookrightarrow optical time domain reflectometry
- Dalla misura del tempo di volo ($t = \frac{2L}{c}$) si deduce la distanza del bersaglio
Da T (durata segnale) la porzione di volume analizzato.
Dall'intensità del segnale retrodiffuso si deduce la composizione chimica / fisica
 \Rightarrow si costruiscono mappe (2D) in funzione dell'ANGOLI di ELEVAZIONE e della DISTANZA

ESERCIZI

x) TRIANG. OTTICO PASSIVO

$$\left(\frac{\Delta L}{L} = -\frac{\Delta \alpha}{\alpha} \right) \quad (2\pi : 360 = \text{rad} : \text{gradi})$$

$\Delta \alpha = 3 \text{ mrad} = 0,17^\circ$	$(L=1 \text{ m} \mid D=10 \text{ cm} \Rightarrow \alpha = 0,1 \text{ rad})$	$L=100 \text{ m} - D=1 \text{ m} : \alpha=0,01 \text{ rad}$
$\Delta \alpha' = 0,1 \text{ mrad} = 0,0057^\circ$	$\frac{\Delta L}{L} = -\frac{\Delta \alpha}{\alpha} = 3\% \text{ (3 cm)}$	$30\% \text{ (30 m)}$
	$\frac{\Delta L}{L} = 0,1\% \text{ (1 mm)}$	$1\% \text{ (1 m)}$

x) TR. ATTIVO

$$D = 10 \text{ cm} \quad WL = 5 \mu\text{m}$$

$$f_{\text{rec}} = 25 \text{ cm} \quad w_{\text{CCD}} = 10 \mu\text{m}$$

$$L = 1 \text{ m}$$

$$x \Rightarrow \alpha = \frac{D}{L} = \frac{x}{f_{\text{rec}}} \Rightarrow x = + \frac{D}{L} f_{\text{rec}} = 25 \text{ mm}$$

Se risolvo $\Delta x = 10 \mu\text{m} (= w_{\text{CCD}})$, allora: $\frac{\Delta L}{L} = \left| \frac{\Delta \alpha}{\alpha} \right| = \left| \frac{\Delta x}{x} \right| = 400 \mu\text{m}$

$\Delta \alpha \neq 400 \mu\text{m} \cdot \frac{D}{L} = 40 \mu\text{rad}$: molto migliore
del passivo

In realtà posso superare questo limite (posso interpolare su + pixel) \rightarrow posso risolvere la frazione di pixel $\Rightarrow \Delta x = 0,2 w_{\text{CCD}}$

Ex

$$w_{\text{rec}} = 50 \mu\text{m}$$

$$\text{CCD} = 1024 \text{ pixel (12 bit)}$$

$$w_{\text{CCD}} = 10 \mu\text{m}$$

(voglio ricavare posizione del "centro di macchia")

- se laser è He-Ne (633 nm), quale ccd conviene scegliere? \Rightarrow sensore: sensibile nel visibile
- quanti e quali pixel sul ccd sono suff. illuminati, quando luce laser copre 1/100 della dinamica di misura?

\Rightarrow un pixel è suff. illuminato ($\text{SNR} = 1$) se fotocorr. seguale = fotocorr. minima rivelabile

$$I_{\text{tot}}^{-2r^2/w_{\text{rec}}^2}$$

$$\frac{I_0}{I} = I_0 e^{-2r^2/w_{\text{rec}}^2} \Rightarrow 2r^2 = w_{\text{rec}}^2 \ln(1/I) \Rightarrow \frac{r}{w_{\text{rec}}} = \sqrt{\frac{\ln(1/I)}{2}} = r \approx k \cdot w_{\text{rec}}$$

Sola quantizz.: $\frac{1}{4096} \approx \frac{1}{4000}$ del valore di picco quando $2r^2 = w_{rec}^2$ su 4000
 $\rightarrow \frac{r}{w_{rec}} \approx 2 \Rightarrow r = 2w_{rec} = 100\mu m = 10 \text{ pixel}$.

TOT PIXEL = 20

Con rumore fondo ($\propto 1/100$ del picco)

$$\frac{r}{w_{rec}} \approx 1,5 \Rightarrow r = 75\mu m \Rightarrow \underline{\text{TOT PIXEL} = 15}$$

- Come conviene ricavare la posizione del centro dello spot sul CCD? Quanto è largo lo spot visibile?

↓
La ottengo con media pesata dei pti della gaussiana, toglii tolto il rumore di fondo. Oppure da una regressione minimi quadrati con funz. (gauss+offset)

$$\Delta x = 1\mu m \approx 0,1 \text{ pixel}$$

- Questi sono i limiti di accuratezza: imposti dal rumore al rivelatore, che può dare stima errata del bocicentro della gaussiana ideale.

- Se ho risoluz. di 0,1 pixel, si ricavi la risoluz. assoluta del telemetro @ $L_{min} = 10 \text{ m}$.

$$x = \frac{D}{L} = \frac{\Delta x \text{ pixel}}{f_{rec}} \Rightarrow L = f_{rec} D \Rightarrow \Delta L = -\frac{f_{rec} D}{L^2} \Delta x$$

scaramazza

$$\frac{\Delta L}{L_{min}} = -\frac{\Delta x}{X_{max}} = D \Rightarrow \Delta L = 1 \text{ mm}$$

(1 cm)

$$\frac{\Delta L}{L} = 10^{-4}$$

$$\Delta L = -\frac{f_{rec} D}{L^2} \Delta x$$